

徳島大学工学部 正会員 三井 宏
徳島大学大学院 学生員 谷口徳男

1 研究目的

防波堤は本来の機能である荒天時における高波の侵入防止だけでなく、平常時では海水交換機能を持ち、さらに港内の総存酸素量を増加させる機能を持つことが望ましい。以上の多目的機能を持たせる意図で模型防波堤断面を試作し、模型防波堤断面の反射率および透過率を模型実験により測定を行い、防波堤の本来の機能である防波機能をより明確にすることがこの研究の目的である。

2 実験方法

実験に用いた模型堤体は内径16mm、外径22mm、長さ24mmの塩化ビニール製のパイプを焼み上げたものである。このパイプ単体は図1(a)示すよう直径の位置にアルミ板が挿入され、断面積が2等分されている。ただし、このアルミ板はパイプの中心軸に沿って傾けたりを加えられており、単体パイプの両端では傾け角が90°となっている。単体パイプを輪方向に接続して1本の混合用パイプが完成するのであるが、これらの中間点ではアルミ仕切版が直角にするよう接続してある。したがって、入口から2種類の液体が図2(a)のようにパイプに挿し込まれる場合を考えると、単体パイプ2番目の入口では図2(b)の状態で挿し込まれ、出口では左右断面それぞれ

の上下が混じりることになる。単体パイプ1本で液が2等分されて混合するものとすれば、2本の単体パイプを接続した混合用パイプでは、2本を通過する液体は2等分されて混合することになる。このパイプは可動部分を持たず故障が少ないので、2種類の液体を混合するのに用いられており、たとえば、2液のエポキシ系接着剤の混合や下水処理場におけるバッジなどに用いられている。

模型堤体は液の進行方向に沿ってこの混合用パイプを焼み上げたものである。したがって、液が堤体内を通過する過程において、海水自身の混合および海水と表面大気との混合が起こり、通過液のエネルギー減少と同時に、通過する海水中の総存酸素量の増大が期待されるものである。

模型実験は図3に示すような、長さ14m、幅0.5m、深さ0.7mの2次元水槽を用い、一様水深 $h=0.32m$ 、造波板から5.5m離れた地点に模型堤体を設置し、その前後に2本/組の波高計をセットして波形を記録した。実験に用いた入射波は波高 $H_0 = 3 \sim 9cm$ 、周期 $T = 0.6 \sim 1.2$ sec の範囲のものである。透過波高は波形記録より調和解析を行って求め、反射波高は合田らの分離推定法によって求めた。また、透過率および反射率の算定にあたって用いた入射波高は、透過率の場合には実測値、反射率の場合には分離推定法による計算値を採用した。

3 実験結果

図4は模型堤体の相対幅員 R/L と反射率 R_s との関係を波形勾配 β/α をパラメタとして示したものである。反射

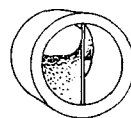
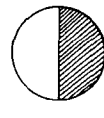
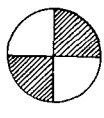


図1 単体パイプ



(a)



(b)

図2 パイプによる液体の混合

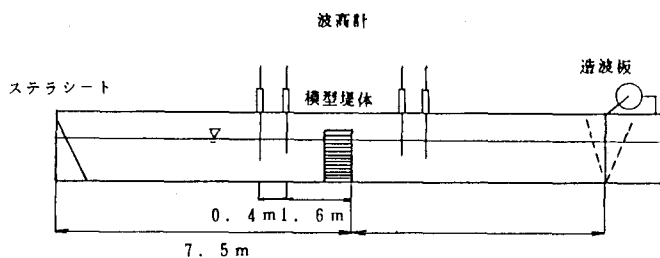


図3 実験水槽

率 K_R の値は全体的にばらつきが見られるが、 B/L の増加に伴って上に凸型の曲線を描くような傾向を示してすり、 $B/L = 0.15$ 近辺にかけて K_R の極大値が出る傾向を示している。

図5は膜型堤体の相対幅員 B/L と透過率 K_T との関係を示したもので、 B/L の増加に伴って K_T は指数関数的に減少していく傾向がある。また、パラメタ H_0/L_0 により常に系統的な相違が認められる。すなわち H_0/L_0 が大きいほど K_T は小さく、 B/L が小さいほどこの傾向が顕著である。

図6は水深波高比 h/H_i に対する反射率 K_R の変化をパラメタ B/L で示したものである。前述のように B/L が大きくなると K_R も大きくなる傾向がこいつの図でも認められるので、パラメタ B/L の同一の値のものに着目して比較すると、 K_R は h/H_i 値によってあまり変化せずほぼ横ばいの状態に存在している。

図7に示す透過率 K_T の h/H_i に伴う変化は、 h/H_i が増加するにしたがって、パラメタ B/L が小さなものについては K_T の値が増加する傾向があり、 B/L が中程度のものについてはほぼ一定値となり、 B/L が大きなものになると K_T の値が小さくなる傾向を示す。しかし、水深波高比 h/H_i の K_R へ及ぼす影響は、前に述べた相対幅員 B/L よりも大きなものではないと言えよう。

図8は波形勾配 H_0/L_0 と反射率 K_R との関係をパラメタ B/L により示したものである。 $B/L < 0.07$ の場合を除けば波形勾配 H_0/L_0 の増加に伴って反射率 K_R が減少する傾向が認められ、また前述のよう B/L が大きいほど K_R が大きくなっている。

図9には透過率 K_T と H_0/L_0 との関係を示す。透過性の消波構造物の一般特性と同様に、波形勾配 H_0/L_0 の増加に伴って K_T は減少する傾向にある。また前述と同様に、 B/L が大きいほど透過率 K_T が小さくなることがこいつの図からも認められる。

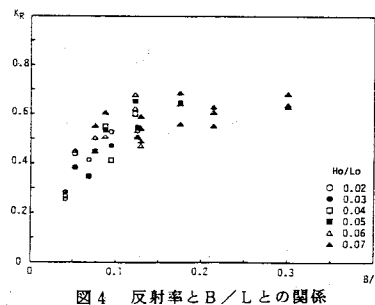


図4 反射率と B/L との関係

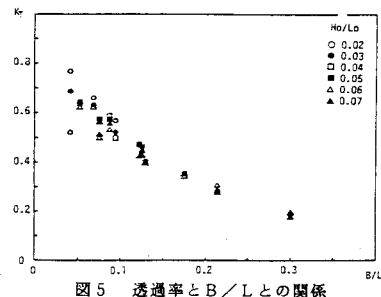


図5 透過率と B/L との関係

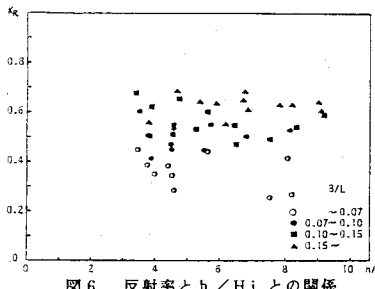


図6 反射率と h/H_i との関係

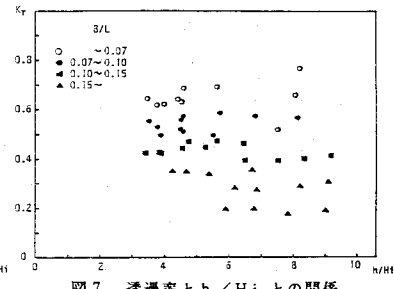


図7 透過率と h/H_i との関係

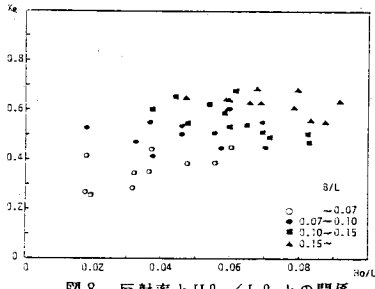


図8 反射率と H_0/L_0 との関係

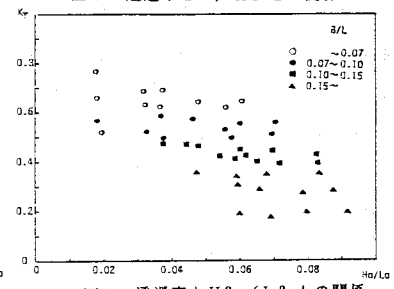


図9 透過率と H_0/L_0 との関係